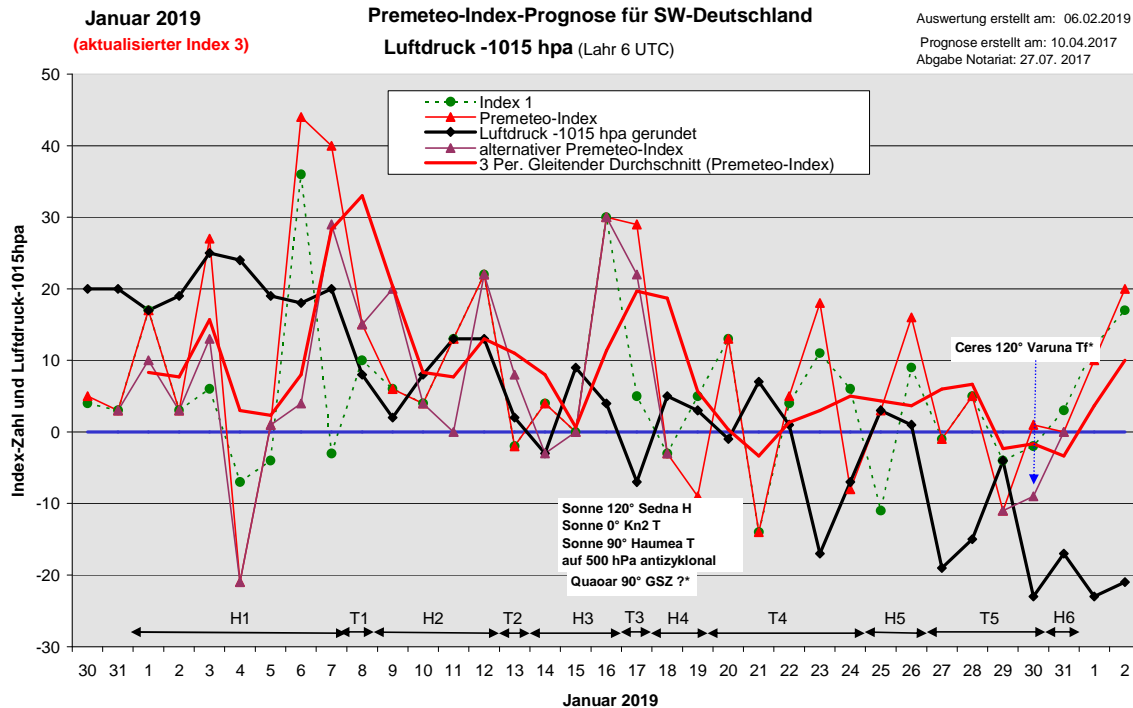


Wetterlagenverlauf Januar 2019 im Vergleich zur Premeteo-Indexprognose für Südwest-Deutschland

(Im Diagramm sind über der Datumsachse die real eingetreten Hoch- und Tiefdruckphasen durch Doppelpfeile eingetragen. Ausschlaggebend für die Evaluation ist der tägliche Premeteo-Index, in der dünneren, roten Linie mit Dreieckspunkten dargestellt. Ein negativer Premeteo-Index zeigt die Wahrscheinlichkeit für eine zyklonale Tiefdruckströmung, ein positiver Premeteo-Index die Wahrscheinlichkeit für eine antizyklonale Hochdruckströmung an.

Die Wetterlagenbeschreibungen wurden anhand der Berliner Wetterkarten erstellt. Ausschlaggebend ist die Europa-Bodenkarte um 0 UTC, die feiner skalierte 12 UTC-Karte von Mitteleuropa wird nur bei einem Wetterlagenwechsel für die Einordnung des Tages hinzugezogen. Am Ende des Dokuments befinden sich die Tabellen und Konstellationen, die dem Diagramm zugrunde liegen.)



Zusammenfassung:

Das Jahr 2019 begann im Januar mit sehr wechselhaftem Wetter. Der Luftdruckverlauf entwickelte eine kräftig ausschlagende Zickzacklinie mit neun Wellenbergspitzen. Der Premeteo-Index zeigte eine Zickzacklinie mit zehn Wellenbergspitzen. (Siehe Diagramm). Die Minima und Maxima beider Kurven waren teilweise etwas zeitlich versetzt zu einander und gegen Ende des Monats sackte der Luftdruck insgesamt kräftiger ab als der Premeteo-Index. Die Wettersymbolprognose zeitigte durch diese kleinen, zeitlichen Verschiebungen der Rhythmik um ein zwei Tage mit zehn falschen und nur vier richtigen Prognosetagen ein relativ schlechtes Ergebnis. Zufriedenstellend war, dass bei 21 Tagen die Prognose der Wetterlage durch das Premeteo-Index-Vorzeichen dennoch richtig war. Allerdings wurde im Monatsmittel für den durchschnittlichen Premeteo-Index pro Tag bei den Tiefdruckwetterlagen kein negativer Wert, wie es im Idealfall sein sollte, erreicht, aber ein positiver Wert, der deutlich kleiner als bei den Hochdruckwetterlagen war (siehe unten).

Der wärmste Tag in Lahr mit einer Tagesmitteltemperatur von 6,3° C war der 13. Januar, als Neptun 72° Sedna T?* und Jupiter 72° GSZ H* exakt wurden. (GSZ : Supergalaktisches Zentrum M87)

Am 21. erreichte die Tagesmitteltemperatur in Lahr ihren tiefsten Wert von -3,3° C, und es wurden die Aspekte Pallas 90° aufst. Mondknoten A*, Venus 90° Neptun TK und Mars 90° Saturn Tf exakt.

Der maximale Luftdruck von 1039,6 hPa in Lahr um 6 UTC trat am 3. Januar ein und war begleitet von Merkur 144° Juno Hf / 0° GaZ H und Mars 45° Mondapogäum H sowie Venus 180° Sedna A. (GaZ: Galaktisches Zentrum)

Der tiefste Luftdruckwert in Lahr 6 UTC wurde am 27. Januar mit 996,4 hPa erreicht. Der einzige, auftretende Tiefdruckaspekt war Merkur 144° Orcus T. Vesta 120° Pallas H* kam mit Pallas 90° und Vesta 150° aufsteigender Mondknoten nicht zum Zuge!

Beschreibung der einzelnen Wetterphasen:

Hochdruckphase 1: Der Januar 2019 begann mit Hoch Ignatius, dessen Kern über Nordwestfrankreich lag. Am 2. Januar kam die südwestdeutsche Region knapp in den Isobarenbereich von Hoch Angela mit Kern bei Schottland. Bei hohem Luftdruck von über 1030 hPa wirkte Tief Zeetje über dem Baltikum mit starker Bewölkung und Schneeschauern noch auf die Region ein. Am 3. waren bei der Prognose mehrere Regeln nicht eingehalten worden (siehe in Tabelle rot markiert): Uranus 72° Mondapogäum T* hätte nicht angerechnet werden dürfen, da, wie das Kosmogramm zeigt, der H*-Aspekt Uranus 45° Neptun als ranghöchster Uranus-Aspekt im 1°-Toleranzbereich noch vorhanden war. Der ranghöchste Merkur-Aspekt war seine Konjunktion mit dem Galaktischen Zentrum und zugleich war Merkur 144° Juno Hf exakt geworden, daher hätten alle Merkur-H-Symmetrien im Index 2 angerechnet werden müssen und die T-Symmetrien nicht. Außerdem war der alternative Index 3 nach der Aktualisierung des Index 3 nicht gelöscht worden. Dies wurde nun bei der Auswertung entsprechend den Regeln berichtigt. Den steilen Abstieg des Premeteo-Index am 4. machte der Luftdruck nicht mit. Hoch Angela mit Kern über Südengland blieb wetterbestimmend. Tief André zwischen Spitzbergen und Nordskandinavien krümmte die Isobaren von Hoch Angela nur über Nordostdeutschland zu seinem Kern. Auffallend waren die vier Mars-Aspekte Mars 90° Quaoar T, Mars 120° Varuna H, Mars 180° GSZ A, Mars 72° Pluto T, die in ihrer Kombination keinen T-Impuls ergaben. Möglicherweise hat der Aspekt mit Varuna den stärksten Lokalbezug. Der größte Teil des negativen Premeteo-Index kam aus Index 2 durch die Symmetrien Haumea 45° Jupiter Orcus A* T* H* -7 und Venus 30° Haumea GaZ A T ?* -7. Der Kern von Hoch Angela verharrte auch vom 5. bis zum 7. in der Region von Südengland-Nordwestfrankreich und es hatte seine Außenisobare nur über Südwestdeutschland ausgedehnt. Das restliche Deutschland lag im Isobarenbereich von Tief André über Osteuropa. Unsere Region mit dem hohen Luftdruck befand sich im Übergangsbereich zwischen beiden Strömungsgebilden. Es war dicht bewölkt und besonders am 6. regnete es ausgiebig. Dieser hohe Luftdruck gepaart mit dem nassen und lichtarmen Wetter gab sehr gut die widersprüchliche Konstellationslage wieder, bei der starke Hoch- und Tiefdruckaspekte in rascher Folge exakt wurden, den Regeln nach sich aber zu einem hohen Premeteo-Index addierten. Der Premeteo-Index summierte über die 7-tägige Hochdruckphase auf +111.

Tiefdruckphase 1: Am 8. setzte sich bei relativ hohem Luftdruck Tief Benjamin mit Kern über Südnorwegen knapp bis nach Südwestdeutschland durch. Der Premeteo-Index war von +40 auf +15 Punkte gefallen, verblieb dabei im positiven Bereich, so dass dieser Tag zur Fehlprognose wurde.

Hochdruckphase 2: Hoch Angela verweilte weiterhin im ostatlantischen Bereich und dehnte sich vom 9. bis zum 12. wieder über Südwestdeutschland aus. Am 12. hatte sich sein Kern jedoch nach Westen etwas weiter hinaus auf den Atlantik verlagert. Südwestdeutschland lag dabei immer im östlichen Randbereich des Hochs im Übergang zur zyklonalen Strömung der Tiefdruckgebiete über dem nördlichen Europa. Es fiel bis in die Tallagen täglich etwas Schnee. Der Premeteo-Index summierte über die 4-tägige Hochdruckphase auf +45.

Tiefdruckphase 2: Am 13. setzte sich Tief Eugen mit Kern über der südlichen Ostsee über ganz Deutschland durch. Dies entsprach dem Premeteo-Index, der von +22 Punkten am Vortag auf -2 fiel. Dies ging mit starker Erwärmung und Regenfällen einher.

Hochdruckphase 3: Um 0 UTC des 14. reichte noch Tief Florenz mit Kernen über der Ostsee über ganz Deutschland, doch hatte sich um 12 UTC schon wieder die antizyklonale Strömung von Hoch Angela erneut bis über unsere Region durchgesetzt. Hoch Angela, das sich mit seinem Kern seit dem 3. Januar im ostatlantischen Raum aufhielt, setzte sich vom

15. zum 16. in Bewegung und verlagerte bei einem Premeteo-Index von +30 seinen Kern auf den Kontinent über Ostfrankreich. Dadurch intensivierte sich zwar die Antizyklonalität für unsere Region, aber gleichzeitig fiel der Luftdruck durch die Zufuhr warmer Luftmassen aus dem Mittelmeerraum ganz beträchtlich ab. Diese Erwärmung ging einher mit Haumea 90° aufsteigender Mondknoten H* und Ceres 120° aufst. Mondknoten H*, außerdem wurde der unbekannte Aspekt Quaoar 90° GSZ ?* exakt. Der Premeteo-Index summierte über die 3-tägige Hochdruckphase auf +34.

Tiefdruckphase 3: Bei fast unverändert hohem Premeteo-Index setzte sich Tief Hinne mit Kern über der Ostsee in ganz Deutschland durch. Auf 500 hPa blieb die Strömung antizyklonal. Dies geschah bei einem gehäuften Auftreten von Sonnenaspekten. Durch Sonne 120° Sedna H wurden Sonne 0° absteigender Mondknoten T und Sonne 90° Haumea T nicht angerechnet. Der Wetterverlauf sprach dafür, dass die beiden letzteren jedoch den größeren Lokalbezug hatten, zumindest in dieser Kombination, und sich in der Bodenatmosphäre durchsetzten, während sich der H-Aspekt mit Sedna in der Höhenströmung manifestierte. Nach 18 Uhr setzte schon wieder kräftiger Luftdruckanstieg ein. Der Premeteo-Index hatte einen Wert von +29.

Hochdruckphase 4: Hoch Brigida über Nordwestspanien reichte um 0 UTC des 18. nur flach über Südwestdeutschland und am Vormittag schneite es noch lokal. Bis Mittag lockerte die Bewölkung unter der einströmenden und absinkenden, kalten, maritimen Subpolarluft bei einem Premeteo-Index von -3 auf. Auf 500 hPa war die Strömung zyklonal. Hoch Brigida verlagerte unter dem flach negativen Premeteo-Index seinen Kern relativ rasch bis über Österreich am 19. und bescherte zum ersten Mal in diesem Monat einen sonnigen, klaren Tag. Der Premeteo-Index summierte über die 2-tägige Hochdruckphase auf -12.

Tiefdruckphase 4: Am 20. dehnte sich Tief Ilmar mit Kern über Nordwestfrankreich bis nach Südwestdeutschland aus. Das geschah um einen Tag gegenüber dem Premeteo-Index verzögert. Am Vortag hatte er den Wert -9 und war nun für einen Tag auf +13 angestiegen, um am 21. wieder auf -14 abzufallen. Dabei weitete ein Tief mit Kern über dem Südwestmittelmeer seinen Einfluss um 0 UTC über die Alpen bis in unsere Region aus, während das restliche Deutschland unter dem Einfluss von Hoch Brigida II stand. Auch am 22. verblieb unsere Region im flachen, nördlichen Grenzbereich des Mittelmeertiefs. Der Premeteo-Index hatte nun wieder einen schwach positiven Wert von +5. Am 23. bildete Tief Janno I, II, III mit Kernen über Island, dem Nordmeer und Nordwestfrankreich bei stark fallendem Luftdruck einen Trog bis über den Mittelmeerraum aus. Dabei stieg der Premeteo-Index auf +18 durch die Aspekte Ceres 144° Eris H*, Sonne 72° Mars H und Merkur 90° Uranus H sowie der Symmetrie Merkur 90° Uranus Haumea. Den einzigen T-Aspekt bildete Venus mit 135° zu Varuna, aber dies geschah in Konjunktion mit Jupiter und wieder entstand der Eindruck, dass die retrograd rotierende Venus eine Impulsumkehr der Gesamtkonstellation bewirkte. Über Mittag krümmten sich die Isobaren zum Hoch Brigida über Russland. Am 24. kam die Region in den Einflussbereich von Tief Klaus über Sardinien. Der Premeteo-Index summierte über die 5-tägige Tiefdruckphase auf +14.

Hochdruckphase 5: Am 25. bildete sich eine flache Hochdruckbrücke zwischen Tief Klaus mit Kern über Sizilien und Tief Laszlo mit Kern über Island und am 26. dehnte das Azorenhoch seinen Einfluss bis über Südwestdeutschland aus. Der Premeteo-Index summierte über die 2-tägige Hochdruckphase auf +19.

Tiefdruckphase 5: Tief Martin über der Nordsee übernahm mit starkem Luftdruckfall das Wettergeschehen am 27. und 28. Am 29. um 0 UTC lag die Region vorübergehend im Randbereich des Azorenhochs, doch fiel der Luftdruck zur Mittagszeit bereits wieder, und das vom Atlantik nachrückende Tief Oskar dehnte seinen äußersten Isobarenbereich schon über Südwestdeutschland. Als Sturmtief zog es am 30. mit seinem Kern über das nördliche Deutschland. Der Premeteo-Index hatte einen Wert von +1, der alternative Premeteo-Index jedoch von -9. Es wurde Ceres 120° Varuna Tf* exakt, das wegen Ceres 60° GSZ H*, das sich noch im 1°-Toleranzbereich befand, nur im alternativen Index angerechnet worden war. Der reale Wetterverlauf zeigte hier klar, welche starken Lokalbezug Tf*-Aspekte haben können. (Außerdem trat im Index 3 Neptun 72° Sedna T?* auf, dessen möglicherweise starker Lokalbezug auch schon auffällig wurde.) Der Premeteo-Index summierte über die 4-tägige Tiefdruckphase auf -6.

Hochdruckphase 6: Tief Oskar zerfiel in die zwei Tiefdruckzellen Oskar I und II mit Kernen über Holland und der Adria. Südwestdeutschland lag innerhalb des sehr flachen, antizyklonalen Bereichs zwischen den beiden Tiefs, so dass der letzte Januartag trotz des sehr tiefen Luftdrucks als antizyklonaler Tag eingeordnet wurde. Der Premeteo-Index hatte den Wert 0.

SW-D befand sich an 19 Tagen im Einflussbereich antizyklonaler Strömung. Die Summe des prognostizierten Premeteo-Index für diese Tage ergab +197. Dies entsprach einer Indexzahl von +10,37 pro Tag.

An 12 Tagen befand sich SW-D im Einflussbereich zyklonaler Strömung. Die Summe des prognostizierten Premeteo-Index für diese Tage ergab +50. Dies entsprach einer Indexzahl von +4,17 pro Tag.

Die Prognose durch die Premeteo-Wettersymbole war an 10 Tagen falsch (am 1., 3., 6., 7., 8., 11., 12., 17., 23., 26.), an 4 Tagen richtig und an 17 Tagen tendenziell richtig.

Zu den Tabellen



06.02.2019													
Januar 2019													
01.01.2019													
Langsamläufer-Impulse	H?*	T*				3H*, H?, T*, T?*							
Schnellläufer-Impulse	H	T, Hf	2 H	3T, H	T	Hf, H, 2T	T	Hf	3H				
Temperaturimpulse		2K, K*	K	K?*, 2W	W?*, K	K, 2W			W				
Premeteo-Index -zyklonal, + antizyklonal (Index 1+2+3)	17	3	27	-21	1	44	40	15	6	4			
PreJX (ALTERNATIV)	10					4	29		20				
Index 1 (12 - 12 UTC) exakte Aspekte des Tages	17	3	6	-7	-4	36	-3	10	6	4			
Index 1 (ALTERNATIV)	10					0							
Symmetrien (0 - 0 UTC)		Son 9 Plu Qua (03) Hf K H --- Sed 150 Hau Mer (14) 7° A, A 7 GaZ 15 Son Jup (15) T K --- Mer 144 Jun Var (18) Hf A A +14	Mer 15 Jup Sat (02) H? +7 Son 76 Chi Hau (03) T (5)10,5 --- Mer 15 Son Jup (12) T +1,7 Qua 90 Mer GSZ (14) 7° A-7 GaZ 15 Jup Sat (15) Hf --- Hau 46 Jup Orc (19) A° T° Hf-7	Jup 16 Ven Mer (00) T K --- Ven 30 Hau GaZ (09) A T 7°-7 Mer 2 Qua GaZ (20) A H Auslösung für 5:1		Jup 14 Ven GaZ (05) T --- Nep 72 Sed Mer (11) T? (0,52) A W A -70	Son 4 Sat Plu (02) A K H K +7 Auslösung! Mer 20p Mak GSZ (04) H A +7 Mer 91 Mar GSZ (08) Hf A A +14 Sat 9 Plu Mer (11) H? (42) A K? ---	Mer 8 Sat GaZ (05) A K? H --- Mer 90 Mar Mak (19) Hf A H +14	Nep 72 Qua Sed (08) T? (03) -110 T? (0,52) H? (6,52) +140 Ura 23 Mar Jun (12) H --- Qua 5 GaZ Mer (23) H? (30) A ---	GSZ 60 Ven Var (00) A 7° H # GSZ 40p Mer CH (10) A T? (1/5) --- Mar 22 Ura Nep (16) H? (30) ---			
Index 2 (12 - 12 UTC)	0	0	21	-14	0	-7	28	0	0	0			
Index 2 ALTERNATIV						0			14				
ausgelöste Aspekte (= durch Konjunktionen aktivierte Aspekte)		Jup 30 Sat H6	Jup 30 Sat H 0+6 Knl 150 GaZ H13 (Knl 30 GaZ H13) Sed 150 GaZ 7° Var 144 GaZ A? (21) Hau 60 GaZ 7°		Auslösung Index 2: Neptun 72° Qua T? (03) -100 Var 150 Qua T? -11 Qua 144 Sed H? (6,52) +110 Ven 135 GSZ H5	Mer 45 Ves T-1 Ves 135 GSZ H5 Var 150 Qua T-1 Nep 72 Qua T? (03) -110 Qua 144 Sed H? (6,52) +110 Qua 90 GSZ 7°	Auslösung Index 2: Jun 120° Plu H +5 Jup 30° Sat +6 Mer 45 Ves T-1 Ves 135 GSZ H5 Var 150 Qua T-1 Nep 72 Qua T? (03) -110 Qua 144 Sed H? (6,52) +110 Qua 90 GSZ 7°		Ves 135 GSZ H5				
Index 3 (Summe)	0	0	0	0	5	15	15	5	0	0			
Index 3 ALTERNATIV					4	4	4						
Symbol-Prognose	2	3	5	5	3	2	2	2	3	3			
Symbol-Prognose altern.	2	3	2	5	3	3	2	2	2	3			
Wochentag	Di	Mi	Do	Fr	Sa	So	Mo	Di	Mi	Do			
Datum	1	2	3	4	5	6	7	8	9	10			
reale Wetterlage	H1: Hf, 3H, 2H, 5H - Tf*, 2T, 7T / +111							T1: Hf / +15			H2: H, 2H, 4H / +45		
Luftdruck (hpa) 06 UTC	1032,4	1034,4	1039,6	1039,1	1034	1032,7	1035,2	1022,9	1016,8	1023,1			
mittl. Temp. (°C)	6,3	3,3	-0,7	1,1	2,1	3,6	3,6	4,5	3,1	1			
Sonnenscheindauer (h)	0	1,1	1,1	2,5	0	0	0	0,4	0,6	0			
Niederschlag (Liter)	1,0 / 2	0 / 4	0 / 1 / 1	0 / 1	7,2 / 14	4,9 / 25	0,5 / 7	2,0 / 5	1,7 / 4	0 / 1			
Bodenwetterlage 00 UTC (Kernlage des Druckgebets, das SW-D beeinflusst)	H ü NW-F, T ü N-Skand, T ü Kreta	H ü Schottl, T ü Baltikum	H ü GB, T ü Weiß-R, T ü JonM	H ü SO-GB,	H ü SW-England, T ü Balti	H ü NW-F, T ü O-Euro	H ü NW-Bisk	T ü S-Skand, H w Bisk	H ü O-Atl, T ü N-Polen, T ü TyrhrM	H w Irl, T ü S-Ital			
Bodenströmung 12 UTC zyklonal (z), antizyklonal (a)		fl a	fl a	a	z	fl a	a	fl z	a	fl a			
Strömung auf 500 hpa 00 UTC	N a	NW a-z	N fl z	NO a-z	NNO a-z	NNW fl z	N a-z	NNW a	NW z	NO a			
zutreffende Wettersymbole	5 f	5 hr	3-5 f	3-5 hr	5 hr	5 f	5 f	5 f	5 hr	5 hr			

Übertrag
Index 1: +10
Index 2: 0

SAT 135 SED STE 11°26'39" STI 26°26'39" H? (136) +7/0	13:43	03:53	MER 0 GaZ SCH 26°59'57" SCH 26°59'58" H+2	03:19	JUP 135 KN1 SCH 12°24'35" KRE 27°24'35" A°	01:35	MAR 72 PLU WID 02°43'58" STE 20°43'58" T-4	03:49	VEN 150 URA SKO 28°35'59" WID 28°35'60" A	02:28	SON 30 APO STE 17°11'45" WAS 17°11'45" T---	19:21	MER 90 MAR STE 04°55'58" WID 04°55'58" Hf +10	10:06	MER 90 FY9 STE 05°51'24" WAA 05°51'25" A	00:39	MER 72 EL6 STE 08°45'48" WAA 26°45'47" A	22:09	
SON 120 ORC STE 11°05'39" JUN 11°05'40" H+3	19:44	05:51	SON 0 SAT STE 11°31'26" STE 11°31'26" A K	10:30	MAR 150 KN1 SCH 27°26'34" KRE 27°26'35" A	01:52	MAR 90 QUA WID 02°00'16" WID 02°00'16" T-4	06:09	PAL 180 ERI WAA 22°59'34" WID 22°59'34" H° +10/0	04:44		22:27	MER 72 PAL STE 05°43'00" WAA 23°43'01" A	10:11	VEN 120 VAR SCH 02°01'05" LOW 02°01'06" H W 42				
APO 72 URA WAS 16°36'28" WID 28°36'28" T° K° ---	12:39	18:18	MAR 45 APO WID 01°44'09" WAS 16°44'10" H ---	16:18	MER 120 URA SCH 28°36'11" WID 28°36'10" T K? -1	05:14	URA 72 VES WAS 16°36'02" A°	08:45	CER 150 ERI SKO 22°59'34" WID 22°59'34" H° +11/0	04:53		22:41	GSZ 135 APO WAA 02°19'22" WAS 17°19'22" A°	11:25	MER 135 JUN STE 06°32'31" STI 21°32'30" A				
MER 144 VAR SCH 26°08'57" LOW 02°08'58" WAA 05°51'41" A°	13:31	22:23	JUN 135 FY9 STI 20°51'41" WAA 05°51'41" A°	22:23	VEN 30 EL6 SKO 26°43'04" WAA 26°43'03" A	05:51	VEN 120 CHI SKO 28°14'30" FIS 28°14'30" A K	18:01	VES 0 APO WAS 17°01'07" WAS 17°01'07" A°	05:10		22:54	SON 30 VES STE 18°21'58" WAS 18°21'58" A	13:09	VEN 30 QUA SCH 02°08'48" STE 02°08'47" H+4				
MER 150 SED SCH 26°26'10" STI 26°26'10" A	18:11	22:43	MAR 90 CHI SCH 28°11'56" FIS 28°11'54" A K	05:55	MAR 120 VAR WID 02°07'05" LOW 02°07'04" H ---			05:14	CER 30 PAL SKO 22°59'54" WAA 22°59'54" T° 0/-5			22:41	VEN 60 GSZ SCH 02°19'23" WAA 02°19'22" A	17:13	MAR 180 FY9 WID 05°51'19" WAA 05°51'19" H+4				
SON 30 JUP STE 12°09'37" SCH 12°09'37" T K-3	20:50	22:56	VEN 180 SED SKO 26°25'42" STI 26°25'41" A	07:00	VEN 45 SAT SKO 26°45'58" STI 11°45'57" A			07:19	VES 45 QUA WAS 17°03'45" STE 02°03'45" A°			22:56	MAR 180 FY9 WID 05°51'19" WAA 05°51'19" H+4	18:53					
MER 60 EL6 SCH 26°42'22" WAA 26°42'24" A	23:38		VEN 30 GaZ SKO 26°59'59" SCH 26°59'59" T-2	13:11				08:43	CER 72 ORC SKO 23°03'12" JUN 11°03'12" H° +10/0			23:38	JUP 135 URA SCH 13°36'13" WID 28°36'13" A°	21:30					
MER 144 JUN SCH 26°46'19" STI 20°46'19" Hf +7			MAR 180 GSZ WID 02°19'19" WAA 02°19'19" A					11:42	VEN 144 ERI SKO 28°59'32" WID 22°59'33" T-2	11:42		23:38	VEN 144 ERI SCH 02°04'19" STE 02°04'19" T° -11	05:51					
			SON 60 NEP STE 14°09'48" FIS 14°09'48" A W	19:59				12:28	MER 45 APO STE 02°03'09" WAS 17°03'09" A	16:46		23:38	MER 90 GSZ STE 02°19'22" WAA 02°19'21" A						
			VEN 120 KN1 SKO 27°21'58" KRE 27°21'58" A W	21:17				12:43	MER 0 QUAA STE 02°04'05" STE 02°04'06" A	16:52		23:38	QUAA 45 APO STE 02°04'23" WAS 17°04'23" A°						
			MER 150 VAR STE 02°04'28" LOW 02°04'27" Hf K+7					12:49	MER 150 VAR STE 02°04'28" LOW 02°04'27" Hf K+7	18:09		23:38	MER 144 SED STE 02°24'35" STI 26°24'36" A						
			MER 72 NEP STE 02°12'16" FIS 14°12'15" A W					14:53	MER 72 NEP STE 02°12'16" FIS 14°12'15" A W	20:00		23:38	VEN 135 GSZ WAS 17°19'21" WAA 02°19'21" H° +5						
			MER 45 VES STE 02°13'27" WAS 17°13'27" T ---					15:12	MER 45 VES STE 02°13'27" WAS 17°13'27" T ---	21:34		23:38	SON 72 CHI STE 16°16'13" FIS 28°16'14" H W +3						

Januar 2019



Prognose für SW-Deutschland
 (aktualisierter Index 3)

Am 16. wird der bisher unbekannte Aspekt Quaoar 90° GSZ im Index 1 exakt.
 Weitere unbekannte Aspekte treten vor allem im Index 3 auf: Haumea 60° GSZ am 3., Quaoar 90° GSZ am 6. u. 7., Haumea 150° Sedna u. Haumea 60° GSZ vom 18. bis zum 27., dann tritt noch bis zu 31. Sedna 150° GaZ hinzu, während Haumea 60° GSZ ab dem 29. nicht mehr beteiligt ist.
 Vom 4. bis zum 8. ist Vesta in Konjunktion mit Mondapogäum. Vom 18. bis zum 28. ist Pallas in Konjunktion mit Haumea. Am 28. beginnt die Konjunktion von Juno mit Sedna und hält bis über das Monatsende an.
 Aspekte, die im Index 3 in roter Schrift erscheinen, wurden nicht berechnet, da die Partnerplaneten zum jeweiligen Konjunktionsplaneten einen geringeren Rang haben.

Langsamiäufiger-Impulse	H*		T2*, H*	H*	H*	H*, H*, ?*	H?*	H*, T*	H*	H*	
Schnellläufer-Impulse	H, Hf	Hf	H	T	H	T, H	4T, H	2T, H	H	H, T	
Temperaturimpulse	K		K?*	W	W		W, K?	W		W	
Premeteo-Index -zyklonal, + antizyklonal (Index 1+2+3)	13	22	-2	4	0	30	29	-3	-9	13	
Pre.IX (ALTERNATIV)			8	-3			22				
Index 1 (12 - 12 UTC) exakte Aspekte des Tages	13	22	-2	4	0	30	5	-3	5	13	
Index 1 (ALTERNATIV)			8								
Symmetrien (0 - 0 UTC)	Sat 76 Chi Hau (04) T15(0.5) Ven 9 Jup Cer (20) H W A W ---	Mer 9 Plu Qua (18) H A ---	Mer 76 Chi Hau (10) T15(10.3) ---	Mer 37 Ven Ves (09) H 0 Cer 31 Pal GaZ (09) T* A* H* 0*?		Plu 4 Son Mer (00) Hf K H --- Mer 4 Sat Plu (07) A K? H --- Cer 30 Hau GaZ (19) H* A* T* +70	Sed 149 Pal GaZ (07) H* ?* H* +7 Pal 45 Ven Orc (12) A H* T +7 Pal 30p Ura Eri (20) Hf H* +7	Son 91 Ura Hau (03) A T H* (51,5) -7 Son 61 Chi Cer (11) H A A* W --- Mer 7 Son Sat (14) H A K?	Plu 8 Son Sat (07) Hf K H? (42) --- Hau 46 Ven Orc (11) T T* T -14	Chi 14 Mar Nep (01) H --- Mak 7op Mar Chi (06) H ? # Nep 44 Son Ura (20) A H? (30) A ?	
Index 2 (12 - 12 UTC)	0	0	0	0	0	0	21	0	-14	0	
Index 2 (ALTERNATIV)							14				
ausgelöste Aspekte (= durch Konjunktionen aktivierte Aspekte)	Jun 120 Plu H5	Jun 120 Plu H5					Son 120 Sed H3 Son 135 Orc T-3 Son 90 Hau T-3 Son 180 Kn1 T-3	Ven 45 Hau T-2 Son 90 Hau T-3 Son 180 Kn1 T-3 Cer 30 Hau H5 Orc 45 Hau T-11 Hau 90 Kn1 H11 Hau 90 Kn2 H11 Hau 150 Sed ?* Hau 60 GaZ ?*	Ven 45 Hau T-2 Cer 30 Hau H5 Orc 45 Hau T-11 Hau 90 Kn1 H11 Hau 90 Kn2 H11 Hau 150 Sed ?* Hau 60 GaZ ?*	Orc 45 Hau T-11 Hau 90 Kn1 H11 Hau 90 Kn2 H11 Hau 150 Sed ?* Hau 60 GaZ ?*	
Index 3 (Summe)	0	0	0	0	0	0	3	0	0	0	
Index 3 (ALTERNATIV)											
Symbol-Prognose	2	2	3	3	3	2	2	3	3	3	
Wochentag	Fr	Sa	So	Mo	Di	Mi	Do	Fr	Sa	So	
Datum	11	12	13	14	15	16	17	18	19	20	
reale Wetterlage			T2:H*, H - T?/?-2	H3: H*, 3H*, 2H - 2T - ? / +34			T3: 4T-H?*, H+29		H4: 2H*, 2H - T*, 2T / -12		T4: →
Luftdruck (hpa) 06 UTC	1028,1	1027,6	1016,6	1011,8	1024,1	1018,8	1007,9	1020,2	1018	1014,3	
mittl. Temp. (°C)	-0,3	2,6	6,3	5,7	4,4	3,7	6	1,2	-2,1	-2,2	
Sonnenscheindauer (h)	0	0	0	0,3	0,8	4,7	1,3	2,5	6,2	0	
Niederschlag (Liter)	2,3 / 5	8,2 / 9	11,4 / 15	1,8 / 3	0	0	3,1 / 4	0 / 1	1,5	0,4 / 1,5	
Bodennetterlage 00 UTC (Kernlage des Druckgebiets, das SW-D beeinflusst)	H ü SW-Irland, T ü N-Nm	H ü O-Atl	T ü S-Osee, H ü O-Atl	T ü S-Osee, H ü O-Atl	H ü O-Atl ü Bisk	H ü O-F u Balk, T bei Schottl	T ü Osee	H ü NW-Iber, T ü NW-R	H ü Öster, T bei Iril	T ü NW-F, H ü Ukrai	
Bodenströmung 12 UTC zyklonal (z), antizyklonal (a)	fl a	a	z	fl a	fl a	a	a-z	a	a-z	fl a	
Stromung auf 500 hpa 00 UTC	NO a-z	SW a	NW fl z	NW a-z	NW a-z	NW a	SW a	W z	W fl z	SW fl z	
zutreffende Wettersymbole	5 f	5 f	5 hr	5 hr	3-5 hr	3 hr	5 f	3-5 r	2-5 r	5 hr	

MAR 45 JUN WID 06°48'18" STI 21°48'18" H +4	MER 120 ORC STE 10°59'18" JUN 10°59'19" A	VEN 72 APO SCH 05°46'31" WAS 17°46'30" A	MAR 72 KN2 WID 08°52'14" STE 26°52'14" A	VEN 135 ERI SCH 07°59'32" WID 22°59'33" A	SON 135 ORC STE 25°56'21" JUN 10°56'20" T -3	CER 30 GAZ SCH 27°00'03" SCH 27°00'03" A*	PAL 45 ORC WAA 25°54'51" JUN 10°54'52" H* +5	SON 60 CHI STE 28°38'29" FIS 28°38'29" H +3	VEN 30 SAT SCH 13°38'28" STE 13°38'28" A W
SON 0 PLU STE 20°56'47" STE 20°56'48" Hf K +9	SON 120 JUN STE 22°01'48" STE 22°01'47" Hf +9	VEN 60 FY9 SCH 05°50'48" WAA 05°50'46" H +2	VEN 30 PLU STE 21°02'40" STE 21°02'40" H* +5	CER 180 SED SKO 26°21'45" STE 26°21'45" A*	CER 120 KN1 SKO 26°45'21" KRE 26°45'21" Hf* +11	SON 180 KN1 STE 26°43'01" KRE 26°43'00" T W ----	VEN 60 ERI WAS 22°59'46" WID 22°59'46" T -5	SON 90 URA STE 28°39'52" WID 28°39'53" A	PAL 150 SED WAA 26°20'28" STI 26°20'28" H* +5
MER 45 CER STE 10°04'16" SKO 25°04'16" A	MER 135 SED STE 11°22'35" STE 21°00'19" A	VEN 45 PLU SCH 06°00'20" STE 21°00'19" A	MER 60 NEP STE 14°24'10" FIS 14°24'09" W -1	SON 90 PAL STE 25°23'15" WAA 25°23'16" A	CER 30 HAU SKO 26°47'16" WAA 26°47'16" H* +10	SON 90 HAU STE 26°47'23" WAA 26°47'24" T K? ----	VEN 135 KN1 SCH 11°38'48" FIS 14°33'09" T -4	SON 45 NEP STE 29°33'08" FIS 14°33'09" A	MER 120 JUN STE 23°35'17" STI 23°35'17" A
KN1 150 GAZ KRE 27°00'01" SCH 27°00'01" H* (10/22) +13	NEP 72 SED FIS 14°22'19" STI 26°22'19" T? (0.5/2) -100	MER 30 JUP STE 14°33'03" SCH 14°33'03" A	KN1 90 HAU KRE 26°47'08" WAA 26°47'08" H* (11/3) +11	QUA 90 GSZ STE 02°19'25" WAA 02°19'26" H* (6.5/2) +11	MAR 150 ORC WID 10°55'37" JUN 10°55'38" A	VEN 45 EL6 SCH 11°47'39" WAA 26°47'38" T -4	MER 90 ERI STE 22°59'53" WID 22°59'55" A	VEN 135 URA WID 28°40'45" WID 28°40'45" H ---	
VEN 144 URA SCH 04°36'38" WID 28°36'39" A	SON 90 ERI STE 22°59'30" WID 22°59'29" A	MER 72 CHI STE 16°32'03" FIS 28°32'05" H W +1	SON 120 SED STE 26°21'20" STE 26°21'21" H +3	SON 30 GAZ STE 27°00'02" SCH 27°00'03" A	VEN 120 MAR SCH 11°53'11" WID 11°53'11" A W	CHI 30 URA FIS 28°40'30" WID 28°40'30" H* (11/4) +8	MER 30 VES STE 24°09'17" WAS 24°09'17" A		
JUP 72 GSZ SCH 14°19'24" WAA 02°19'24" H* +6	MER 0 SAT STE 12°51'26" STE 12°51'28" A K?	MER 30 APO STE 18°12'58" WAS 18°13'00" A	VEN 72 VES SCH 10°35'03" WAS 22°35'03" H +2	VEN 0 PLU STE 21°11'39" STE 21°11'41" H +2	SON 60 CER STE 27°10'53" SKO 27°10'54" A	VEN 90 JUN WAS 23°15'52" STI 23°15'52" A*	MAR 135 CER WID 13°18'09" SKO 28°18'08" A		
JUP 90 NEP SCH 14°22'56" FIS 14°22'56" A*	JUP 90 NEP SCH 14°22'56" FIS 14°22'56" A*	VEN 135 FY9 WAS 20°50'34" WAA 05°50'35" A*	VEN 45 PAL SCH 10°47'40" WAA 25°47'41" A	VEN 144 URA SCH 04°36'38" WID 28°36'39" A	VEN 135 URA WID 28°40'45" WID 28°40'45" H ---	VEN 72 GSZ SCH 14°19'27" WAA 02°19'28" T -2			
				QUA 144 SED STE 02°21'06" STI 26°21'06" H* (6.5/2) +11					
				VEN 90 ORC SCH 10°55'14" JUN 10°55'13" T -2					
				MAR 45 SED WID 11°21'04" STI 26°21'03" T -4					



Prognose für SW-Deutschland
(aktualisierter Index 3)

Am 16. wird der bisher unbekannte Aspekt Quasar 90° GSZ im Index 1 exakt.
Weitere unbekanntete Aspekte treten vor allem im Index 3 auf: Haumea 60° GSZ am 3., Quasar 90° GSZ am 6. u. 7., Haumea 150° Sedna u. Haumea 60° GSZ vom 18. bis zum 27., dann tritt noch bis zu 31. Sedna 150° GaZ hinzu, während Haumea 60° GSZ ab dem 29. nicht mehr beteiligt ist.
Vom 4. bis zum 8. ist Vesta in Konjunktion mit Mondtaggäum. Vom 18. bis zum 28. ist Pallas in Konjunktion mit Haumea. Am 28. beginnt die Konjunktion von Juno mit Sedna und hält bis über das Monatsende an.
Aspekte, die im Index 3 in roter Schrift erscheinen, wurden nicht berechnet, da die Partnerplaneten zum jeweiligen Konjunktionsplaneten einen geringeren Rang haben.

	H*	H*	T*	H*	H*	T*	T*	T*	TI*	
T, TI	4H	T, 2H	T, H	2T, 2H	T	T	T	T	2H, T	3H, T
K	W*, W	W			W?			K		K
-14	5	18	-8	3	16	-1	5	-11	1	0
									-9	
-14	4	11	6	-11	9	-1	5	-4	-2	3
									-12	
Mar 15 Ura Chi (09) H* (8/9) ---	Mer 5 Son Plu (03) H H +77 Mer 91 Ura Pal (21) H A H* +7 Mer 91 Ura Hau (21) H A H* (6/1,5) (+7)	Plu 7 Sat Mer (11) H* (4/2) H ---	Var 2op Son Mer (01) A T -7 Mer 44 Jup Nep (14) A T A* -7 Nep 44 Ura Mer (15) H* (3/0) T H ?	Orc 144 Son Mar (11) A H H W +14 GaZ 60 Pal Ves (17) H* A* H* +7	Eri 6 Mar Ura (15) A* H* (4/1) --- Orc 144 Mar Mer (19) H T A* GaZ 60 Ves Hau (20) A* ? H* ---	GaZ 6 Ven Qua (08) A H* (3/0) --- Ven 5 Jup GaZ (21) H W A ---	Sat 22 Ven Mer (05) T K --- Son 36 Nep Qua (23) T* (0/3) ---	Mer 36 Nep Qua (10) T* (0/3) -7	Ven 8 Jup Qua (15) H W A ---	Var 10op Plu Mer (02) ? T --- Chi 30 Ura Ves (05) H* (8/3) A* A* --- Mar 98 Nep Sed (14) T* (0,5/2) Var 10op Son Plu (17) A ? ---
0	0	7	-14	14	7	0	0	-7	0	0
Orc 45 Hau T-11 Hau 90 Knt H11 (Hau 90 Knt H11) Hau 150 Sed ? Hau 60 GaZ ?	Mer 30 GaZ H1 H +77 Mer 91 Ura Pal (21) H A H* +7 Mer 91 Ura Hau (21) H A H* (6/1,5) (+7)	Orc 45 Hau T-11 Hau 90 Knt H11 (Hau 90 Knt H11) Hau 150 Sed ? Hau 60 GaZ ?	Ves 120 Hau H5 Orc 45 Hau T-11 Hau 90 Knt H11 (Hau 90 Knt H11) Hau 150 Sed ? Hau 60 GaZ ?	Ves 120 Hau H5 Orc 45 Hau T-11 Hau 90 Knt H11 (Hau 90 Knt H11) Hau 150 Sed ? Hau 60 GaZ ?	Ves 120 Hau H5 Orc 45 Hau T-11 Hau 90 Knt H11 (Hau 90 Knt H11) Hau 150 Sed ? Hau 60 GaZ ?	Ves 120 Hau H5 Orc 45 Hau T-11 Hau 90 Knt H11 (Hau 90 Knt H11) Hau 150 Sed ? Hau 60 GaZ ?	Ves 120 Hau H5 Orc 45 Hau T-11 Hau 90 Knt H11 (Hau 90 Knt H11) Hau 150 Sed ? Hau 60 GaZ ?	Sed 60 Knt T-12 (Sed 120 Knt T-12) Nep 72 Sed T* (0/3) -110 Qua 144 Sed H* (6,5/2) +110 Hau 150 Sed ? Sed 150 GaZ ? Hau 60 GaZ ?	Son 150 Orc H3 Sed 60 Knt T-12 (Sed 120 Knt T-12) Nep 72 Sed T* (0/3) -110 Qua 144 Sed H* (6,5/2) +110 Hau 150 Sed ? Sed 150 GaZ ?	Ven 150 Sed H2 Son 72 Eri T-3 Sed 60 Knt T-12 (Sed 120 Knt T-12) Nep 72 Sed T* (0/3) -110 Qua 144 Sed H* (6,5/2) +110 Hau 150 Sed ? Sed 150 GaZ ?
0	1	0	0	0	0	0	0	0	3	-3
3	3	2	3	3	2	3	3	3	3	3
3	3	2	3	3	2	3	3	3	3	3
Mo	Di	Mi	Do	Fr	Sa	So	Mo	Di	Mi	Do
21	22	23	24	25	26	27	28	29	30	31
T*, TI, 4T - 3H*, 8H / +14				H5: H*, 2H - 2T / +19			TS: TI*, 4T - H*, 2H / -6			H6: 3H - T / 0
1021,7	1016,1	998,5	1008,4	1017,8	1016,4	996,4	999,8	1011,1	992,1	998,4
-3,3	-2,8	-1,6	-2,1	-1,1	3,6	6,7	2,9	2,4	2,2	1,8
0	0	0	0	0	0,5	0,5	0	4,4	0,6	2
0	0,2	0,8/0,5	0	0,3/0,5	0,9/0,5	3,2/2	0/9	0	0,6/2	1/1
T ü SW-Mm, H ü Tschech	T ü Tyrnm	T mit Kernen ü Isl, Nm, Benel	T ü Sardinien	fl H-Brücke zw T ü Isl, Nm, Benel	Azor-H, H ü NW-Iber, T ü Nm	T ü Nsee	T ü Däne, Azor-H	H ü SW-F, T ü Osee	T ü F	fl H-Zone zw T ü NL u T ü Adrial
fl a	a-z	fl a	fl z	a	fl a	z	a-z	fl z	z	a-z
z	fl z	SW z	O z	N a-z	N a	SW z	NW z	NW a-z	SW fl a	SW z
5 hr	2-5 r	5 f	5 hr	5 hr	5 f	5 hr	5 hr	3-5 r	5 hr	5 hr

03:26 PAL 90 KNT WAA 26°30'19" KRE 26°30'19" A*	00:20 MER 120 SED STI 26°20'06" LÖW 01°44'41" T -2 A*	03:19 VEN 135 VAR SCH 16°44'41" LÖW 01°44'41" H W +3 A*	01:07 MER 45 NEP STE 29°40'28" FIS 14°40'27" T -1 A*	00:06 VES 150 KNT WAS 26°18'03" KRE 26°18'03" H A* +5 A*	00:22 VES 120 HAU WAS 26°48'07" HAA 26°48'07" H A* +5 A*	02:37 MER 144 ORC WAS 04°47'05" JUN 10°47'06" T -1 A*	18:33 VEN 120 ERI SCH 23°01'15" WID 23°01'14" T -2 A*	11:45 MER 45 VEN WAS 08°49'36" SCH 23°49'36" T K -2 A*	02:40 URA 60 VES WID 28°50'02" WAS 28°50'02" A*	01:12 VEN 144 VAR SCH 25°35'11" LÖW 01°35'10" H +2 A*
04:05 SON 45 JUP MER 180 KNT STE 28°72'21" KRE 26°27'19" H W +3 A*	02:06 SON 72 MAR WAS 03°03'07" WID 15°03'07" H W +3 A*	09:01 VEN 72 FY9 WAS 03°03'07" WAA 02°19'30" H +2 A*	01:57 VEN 144 GSZ SCH 17°47'14" WAS 28°19'37" STI 26°19'37" T (3/10,5) -12 A*	01:16 SON 120 FY9 WAS 05°46'21" SCH 21°28'46" STE 21°28'46" A W ? A*	01:14 VEN 30 PLU STE 21°28'46" WAS 05°46'20" A W ? A*	09:33 VEN 120 FY9 WAS 05°46'21" SCH 21°28'46" STE 21°28'46" A W ? A*	19:42 JUN 60 KNT STI 26°02'45" KRE 26°02'45" H +2 A*	02:53 SON 0 MER WAS 09°54'27" WAS 09°54'27" WID 23°01'45" T -3 A*	05:23 SON 72 ERI WAS 11°01'48" WID 23°01'45" T -3 A*	
04:17 VEN 90 NEP SCH 14°35'20" FIS 14°35'19" T K -2 A*	02:10 KHI 120 CER FIS 28°45'07" SKO 28°45'07" A* W*	11:14 MER 90 URA STE 28°43'12" WID 28°43'12" H +1 A*	12:20 KNT 60 SED KRE 26°19'37" WAS 28°19'37" STI 26°19'37" T (3/10,5) -12 A*	01:17 VEN 90 SED WAS 28°19'37" WAS 28°19'37" KRE 26°19'37" WAA 05°45'32" A A*	06:46 VEN 144 KNT WAS 27°41'15" WAS 27°41'15" WAA 27°41'15" A A*	16:28 MER 120 FY9 WAS 05°45'32" WAS 05°45'32" WAA 05°45'32" A A*	05:29 MAR 60 APO WID 19°41'38" T -4 A*	05:29 MER 45 GAZ SCH 25°00'08" SCH 27°00'08" A A*	08:02 MER 45 GAZ SCH 25°00'08" SCH 27°00'08" A A*	
11:49 MAR 90 SAT WID 13°46'35" STE 13°46'36" TI -10 A*	02:39 SON 180 VAR WAS 01°45'54" LOW 01°45'56" A	12:29 MER 60 CHI STE 28°48'21" SCH 28°48'22" H +5 A*	02:39 SON 144 ORC WAS 04°48'57" JUN 10°48'57" A*	10:02 VES 60 GAZ WAS 27°00'06" SCH 27°00'06" H +5 A*	19:13 VES 120 PAL WAS 27°41'15" WAS 27°41'15" WAA 27°41'15" A A*	14:15 CER 120 VAR SCH 01°35'42" LOW 01°35'42" TI* 0/10 A*	14:20 VEN 150 KNT SCH 25°57'48" KRE 25°57'47" H K +4 A*	14:21 MER 150 ORC WAS 10°43'46" JUN 10°43'44" A*	14:20 SAT 60 NEP STE 14°54'48" FIS 14°54'48" A*	
22:28 URA 150 CER WID 28°41'56" SKO 28°41'56" A*	07:10 MER 90 EL6 STE 26°48'03" WAA 26°48'03" A	20:30 MER 60 CER STE 29°21'24" SKO 29°21'25" A	06:27 MER 180 VAR WAS 01°42'08" LÖW 01°42'06" T ---	04:19 MER 45 JUP WAS 01°33'15" SCH 16°33'15" A	21:30 MER 72 MAR WAS 06°06'50" WID 16°06'49" A	14:21 CER 120 VAR SCH 01°35'42" LOW 01°35'42" TI* 0/10 A*	14:20 MER 150 ORC WAS 10°43'46" JUN 10°43'44" A*	14:21 SAT 60 NEP STE 14°54'48" FIS 14°54'48" A*	14:20 SCH 25°57'48" KRE 25°57'47" H K +4 A*	
	10:07 MER 30 GAZ STE 27°00'07" SCH 27°00'05" H +1	11:53 SAT 45 CER STE 13°53'29" SKO 28°53'30" A*	07:19 VEN 60 APO SCH 19°08'42" WAS 19°08'43" A K ?	15:25 MER 120 GSZ WAS 02°19'31" WAA 02°19'30" H +1	17:55 MAR 120 JUP WID 16°39'28" SCH 16°39'28" T ---	17:43 JUN 0 SED STI 26°18'43" STI 26°18'43" A*	17:23 JUP 72 FY9 SCH 17°43'18" WAA 05°43'19" A*	21:31 MER 72 ERI WAS 11°01'39" WID 23°01'39" A	23:50 VEN 150 SED SCH 26°18'38" STI 26°18'37" H +4	
	15:51 SON 120 GSZ WAS 02°19'28" WAA 02°19'29" H +3	16:19 PAL 0 HAU WAA 26°48'04" WAA 26°48'04" A*	21:59 JUP 135 VAR SCH 16°41'19" LÖW 01°41'20" A*	23:04 MAR 144 ORC WID 16°48'11" JUN 10°48'10" H +4	23:51 JUN 144 QUA STI 26°41'01" STE 02°41'01" A*	18:30 MER 72 ERI WAS 11°01'39" WID 23°01'39" A	21:31 VEN 144 FY9 WAS 29°43'13" WAA 05°43'12" A*	22:10 SON 150 ORC WAS 10°43'25" JUN 10°43'25" H ---	23:51 JUP 72 VES SCH 17°46'06" WAS 29°46'06" A*	
	19:24 SON 30 QUA WAS 02°28'30" STE 02°28'30" A	19:45 CER 144 ERI SKO 29°00'15" WID 23°00'15" H +5								

Januar 2019: Fehlprognosen

Datum	Vorzeichen Symbol	Analyse
4.	-21 3-5 hr	Hoch Angela über Südengland. Auffallend waren die vier Mars-Aspekte Mars 90° Quaoar T, Mars 120° Varuna H, Mars 180° GSZ A, Mars72° Pluto T, die in ihrer Kombination keinen T-Impuls ergaben. Möglicherweise hat der Aspekt mit Varuna den größten Lokalbezug. Der größte Teil des negativen Premeteo-Index kam aus Index 2 durch die Symmetrien Haumea 45° Jupiter Orcus A* T* H* -7 und Venus 30° Haumea GaZ A T ?* -7. Auf 500 hPa lag die Region im Übergang von hohem zu tiefem Druck. Einzelner, negativer Tag.
8.	+15 5 f	Tief Benjamin über Südnorwegen. Premeteo-Index war um 25 Punkte gefallen. Auf 500 hPa antizyklonal.
17.	+29 5 f	Tief Hinne über Ostsee. Auf 500 hPa antizyklonal. Dies geschah bei einem gehäuften Auftreten von Sonnenaspekten. Durch Sonne 120° Sedna H wurden Sonne 0° absteigender Mondknoten T und Sonne 90° Haumea T nicht angerechnet. Der Wetterverlauf sprach dafür, dass die beiden letzteren jedoch den größeren Lokalbezug hatten und sich in der Bodenatmosphäre durchsetzten, während sich der H-Aspekt mit Sedna in der Höhenströmung manifestierte. Nach 18 Uhr setzte schon wieder kräftiger Luftdruckanstieg ein.
18.	-3 3-5 hr	Hoch Brigida über Nordwestspanien. Durch den Tiefdruckdurchgang am Vortag floss maritime Polarluft ein und stabilisierte die Atmosphäre. Auf 500 hPa zyklonal und flacher Index.
19.	-9 2 hr	Hoch Brigida über Österreich. Das Hoch hatte seinen Kern unter dem Einfluss des negativen Index relativ rasch verlagert. Auf 500 hPa zyklonal und flacher Index.
20.	+13 5 f	Tief Ilmar über Nordwestfrankreich dehnte sich bis Südwestdeutschland aus. Das geschah um einen Tag gegenüber dem Premeteo-Index verzögert. Am Vortag hatte er den Wert -9 und war nun für einen Tag auf +13 angestiegen, um am 21. wieder auf -14 abzufallen. Einzelner, positiver Tag, auf 500 hPa zyklonal.
22.	+5 2-5 r	Tief über Tyrrenischem Meer. Flacher Index, auf 500 hPa zyklonal.
23.	+18 5 f	Tief Janno I, II, III mit Kernen über Island, dem Nordmeer und Nordwestfrankreich bildete bei stark fallendem Luftdruck einen Trog bis über den Mittelmeerraum aus. Dabei stieg der Premeteo-Index auf +18 durch die Aspekte Ceres 144° Eris H*, Sonne 72° Mars H und Merkur 90° Uranus H sowie der Symmetrie Merkur 90° Uranus-Haumea. Den einzigen T-Aspekt bildete Venus mit 135° zu Varuna, aber dies geschah in Konjunktion mit Jupiter und wieder entstand der Eindruck, dass die retrograd rotierende Venus eine Impulsumkehr der Gesamtkonstellation bewirkte. Über Mittag krümmten sich die Isobaren zum Hoch Brigida über Russland.
28.	+5 5 hr	Tief Martin über Dänemark. Einzelner, positiver Tag, flacher Index.
30.	+1	Sturmtief Oskar über Ostfrankreich. Es wurde Ceres 120° Varuna Tf* exakt, das wegen Ceres 60° GSZ H*, das sich noch im 1°-Toleranzbereich befand, nur im alternativen Index angerechnet worden war. Der reale Wetterverlauf zeigte hier klar, welche starken Lokalbezug Tf*-Aspekte haben können. (Außerdem trat im Index 3 Neptun 72° Sedna T?* auf, dessen möglicherweise starker Lokalbezug auch schon auffällig wurde.) Flacher Index, alternativer Index richtig.

Monatsauswertung (Lahr)

Jan 19

H-Wetterlagen

	Anzahl der Wetterlagen	Anzahl der Tage	Niederschlag in Liter	H*	Hf	H	T*	Tf	T	L
normal	6	19	34,3 / 79	12	4	18	4	0	14	1
anormal	0	0	0	0	0	0	0	0	0	0
gesamt	6	19	34,3 / 79	12	4	18	4	0	14	1

Verhältnis H/Tage = 34/19 = 1,79
Verhältnis T/Tage = 18/19 = 0,95

T-Wetterlagen

	Anzahl der Wetterlagen	Anzahl der Tage	Niederschlag in Liter	H*	Hf	H	T*	Tf	T	L
normal	2	5	6,9 / 15	2	0	3	1	0	8	0
anormal	3	7	14,8 / 22	4	1	8	2	1	4	0
gesamt	5	12	21,7 / 37	6	1	11	3	1	12	0

Verhältnis H/Tage = 18/12 = 1,50
Verhältnis T/Tage = 16/12 = 1,33

ganzer Monat	Anzahl der Wetterlagen	Anzahl der Tage	Niederschlag in Liter	H*	Hf	H	T*	Tf	T	L
	11	31	56 / 116	18	5	29	7	1	26	1

Gesamtzahl H-Aspekte: 52
Gesamtzahl T-Aspekte: 34
Zahl aller Aspekte: 197
Quotient H/T = 1,53
Gesamtzahl L-Aspekte: 1

Niederschlag Durbach: s.o. hinter Schrägstrich

r = richtig hr = halbrichtig f = falsch

Symbolprognose in Tagen	4 r 17 hr 10 f
-------------------------	----------------

Premeteo-Index pro Tag	HWL +197/19 = +10,37	TWL +50/12 = +4,17
------------------------	----------------------	--------------------

bezüglich des Vorzeichens richtige Tage	21	bezüglich des Vorzeichens falsche Tage	10
---	----	--	----

Bei der Auswertung des Januar 2017 wurde entdeckt, dass im Index 3 möglicherweise nur dann Auslösungsaspekte aktiviert werden, wenn der Konjunktionsplanet einen Aspekt mit einem Planeten bildet, der einen höheren Rang hat als der betroffene Konjunktionsplanet selbst. Dies bestätigte sich im Laufe des ganzen Jahres 2017. Manchmal entstand der Eindruck, dass die im korrigierten Index 3 nicht mehr angerechneten Aspekte auf 500 hpa zum Teil doch anwesend waren. Ab Januar 2018 werden nur noch die im Index 3 korrigierten Prognosen ausgewertet.